

# ТЕОРИЯ, КОНСТРУИРОВАНИЕ, ИСПЫТАНИЯ

УДК 631.312.004

## Соединение энергетического и транспортно-технологического модулей МЭС в пахотном агрегате

В целях повышения эффективности использования тракторов класса 2 проведены исследования пахотных агрегатов на их основе в сочетании с транспортно-технологическим модулем (ТТМ), повышающим тяговое усилие агрегата до 40 кН и более. Сочетание трактора высокой энергонасыщенности с ТТМ, предложенное и разработанное НПО НАТИ и ГСКБ МТЗ, получило название модульного энергетического средства (МЭС).

ТТМ 4 (рис. 1) изготовлен на базе задней полурамы и ведущего заднего моста трактора Т-150К. Передняя часть рамы ТТМ снабжена поворотным (посредством вертикального шарнира 3) кронштейном 2, который присоединен в трех точках к тягам заднего навесного механизма энергетического модуля 1. Вертикальный шарнир 2 обеспечивает угловую в горизонтальной плоскости подвижность ТТМ относительно трактора в пределах  $\pm 30^\circ$ . Механизм блокировки состоит из двух гидроцилиндров с системой управления (на рис. 1 не показан).

Для присоединения навесных и полуавесных сельхозмашин ТТМ оснащен навесным механизмом (от трактора Т-150К) с двухточечной наладкой, имеющим возможность поперечного смещения.

При маневрировании и разворотах агрегата в конце гона необходимость

в угловой подвижности ТТМ относительно энергетического модуля не вызывает сомнений. Целесообразность такой подвижности при движении на гоне, особенно в случае поперечного смещения равнодействующей тягового сопротивления сельхозмашин от продольной оси энергосредства (характерного, например, для пахотных агрегатов), требует изучения.

Цель статьи — обоснование способа соединения энергетического и транспортно-технологического модулей МЭС в составе пахотных пяти- и шестикорпусных агрегатов.

Лабораторно-полевые исследования пахотного МТА на основе макетного образца МЭС проводили в опытном хозяйстве Южного отделения УкрНИИМЭСХ на взлущенной стерне озимой пшеницы. Влажность почвы в горизонте 10—15 см составила 12,5%, а твердость — 2,96 МПа. В процессе исследований МЭС агрегатировали с навесным пятикорпусным (ПЛН-5-35) и полуавесным шестикорпусным (ПЛН-6-35) плугами при двухточечной схеме наладки навесного механизма ТТМ. Колея (1570 мм) и ширина шин (16,9") колес МЭС позволяют присоединять к нему плуг ПЛН-6-35 симметрично. Расстояние от наружной части колеса ТТМ до стенки борозды при этом составляет 125 мм.

Пятикорпусный плуг присоединить к

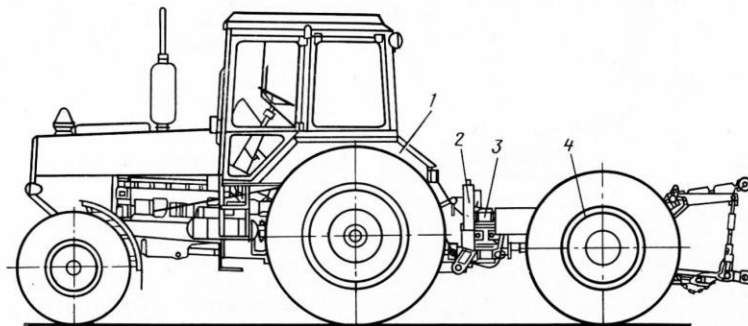
д-р техн. наук Г. М. КУТЬКОВ [МИИСП], канд. техн. наук Е. В. ГАБАЙ [НПО НАТИ], инж. Л. М. ЛУКЕРЧИН [ГСКБ по универсальным про- пащенным тракторам], канд. техн. наук В. Д. ЧЕРЕПУХИН, инж. В. Т. НАДЫКТО [ЮО УкрНИИХОМ]

МЭС с такими параметрами ходовой системы можно только асимметрично путем его правостороннего смещения. В данном случае это смещение, при расстоянии от наружной части колеса ТТМ до стенки борозды 150 мм, составило 100 мм. Крюковую нагрузку изменяли настройкой плугов на два уровня глубины обработки: 25 и 27 см. Движение пахотных агрегатов исследовали на трех передачах. Измеряли: тяговое сопротивление плуга, скорость поступательного движения пахотного агрегата, курсовой угол  $\varphi$  и угол  $\alpha$  поворота направляющих колес энергетического модуля, угловое отклонение  $\beta$  горизонтальной плоскости плуга относительно продольной оси ТТМ, часовой расход топлива, частоту вращения задних колес энергетического модуля, ширину захвата пахотного агрегата.

Тяговое сопротивление шестикорпусного плуга измеряли с помощью тензопропставки конструкции ВИСХОМ. Для измерения тягового сопротивления пятикорпусный плуг дополнительно оборудовали шарнирно закрепленной на нем рамкой, в передней части соединенной с механизмом навески ТТМ, а в задней — через измерительный элемент — с рамой с.-х. орудия. В качестве измерительного элемента использовали тензометрическое тяговое звено конструкции ВИСХОМ с диапазоном измерений 0—40 кН.

Для определения скорости движения пахотного МТА применяли путеизмерительное колесо, а курсового угла — гирополукомпас ГПК-52, установленный в зоне расположения центра масс энергетического модуля. Переменный ток напряжением 36 В и частотой 400 Гц, необходимый для питания ГПК-52, вырабатывался преобразователем ПТ-70.

Для измерения углов поворота управляемых колес и плуга использо-



Тракторы и сельскохозяйственные машины, 1989, № 7

РИС. 1. Модульное энергетическое средство (обозначения в тексте)

зовали реохордные датчики СП-36 группы А. Датчик угла поворота плуга устанавливали на оси пальца, соединяющего левую нижнюю тягу навесного механизма ТТМ с ее однотипной головкой, а управляемых колес — на левом рукаве корпуса переднего моста МЭС.

Частоту вращения колес измеряли с помощью индукционных отмечиков оборотов, смонтированных в токосъемниках ТРАК-6. Часовой расход топлива определяли объемным методом с использованием расходомера ИП-151 конструкции КубНИИТИМ.

Все указанные параметры одновременно регистрировались на ленте осциллографа К-20-22.

Вследствие переменного тягового сопротивления рабочих органов плуга на его раму действует переменный разворачивающий момент, который вызывает угловые (в горизонтальной плоскости) отклонения в рамы плуга относительно рамы ТТМ. В связи с этим основное возмущающее воздействие со стороны плуга на МЭС в горизонтальной плоскости представляет собой разворачивающий момент, образованный двумя составляющими: постоянной и переменной. Первая вызвана поперечным смещением навесного механизма относительно рамы ТТМ, а вторая — колебанием равнодействующей тягового сопротивления плуга и угловым отклонением его относительно продольной оси ТТМ в горизонтальной плоскости.

Это возмущающее воздействие вызывает курсовые отклонения ф энергетического модуля от заданного направления движения, которые в конечном счете устраняются водителем за счет поворота направляющих колес (управляющих воздействий) на угол  $\alpha$ .

Чем реже вмешательство водителя для корректировки направления движения агрегата, тем ниже непроизводительные затраты энергии и расход топлива. Этого можно добиться снижением чувствительности агрегата к возмущающим воздействиям и повышением ее при управляющем воздействии водителя.

По отношению к МЭС в качестве входного возмущающего воздействия рассматривали угловое отклонение в плуга относительно продольной оси ТТМ, а в качестве выходной переменной — курсовое отклонение ф энергетического модуля от заданного направления движения.

В результате обработки экспериментальных данных (реализаций  $\alpha$ ,  $\beta$  и  $\varphi$ ) установлено, что в диапазоне изменения скорости от 5,1 до 9,36 км/ч математические ожидания и средние квадратические отклонения параметров  $\alpha$ ,  $\beta$ ,  $\varphi$  не зависят от скорости движения. Определенные закономерности наблюдаются

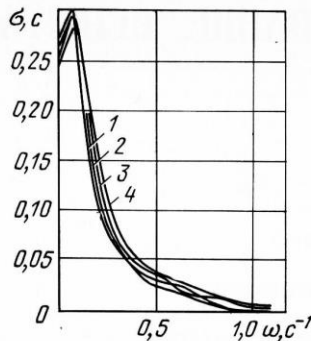


РИС. 2. Нормированные спектральные плотности  $\sigma$  реализаций угла поворота управляемых колес энергетического модуля при вспашке с различной скоростью движения, км/ч: 1 — 5,8; 2 — 6,8; 3 — 7,7; 4 — 9,3

только в характере изменения нормированных спектральных плотностей их реализаций. Так, с увеличением скорости движения эффективная полоса частот рассматриваемых случайных процессов несколько расширяется, хотя и остается в низкочастотной области (частота среза менее  $1,5-2 \text{ с}^{-1}$ ). Максимумы спектральных плотностей при этом уменьшаются с одновременным незначительным смещением в сторону более высоких частот  $\omega$  внешних воздействий (рис. 2—5).

Эффективная полоса частот случайного процесса  $\varphi(t)$  в случае незаблокированного вертикального шарнира ТТМ и агрегатирования с пяти- и шестикорпусным плугами (см. рис. 4 и 5) шире эффективных полос частот случайных процессов  $\alpha(t)$  и  $\beta(t)$  (см. рис. 2 и 3).

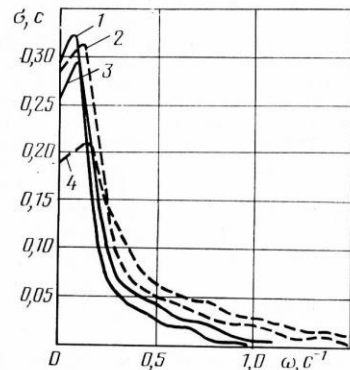


РИС. 3. Нормированные спектральные плотности  $\sigma$  реализаций угла поворота пятикорпусного (—) и шестикорпусного (---) плугов при движении пахотных агрегатов с различной скоростью, км/ч: 1 — 6; 2 — 5,5; 3 — 7,5; 4 — 6,4

Более широкая эффективная полоса частот случайного процесса  $\varphi(t)$  в сравнении со случайнным процессом  $\alpha(t)$  означает недостаточную курсовую устойчивость пахотного агрегата при незаблокированном вертикальном шарнире ТТМ. При более же узкой эффективной полосе частот случайного процесса  $\varphi(t)$  в сравнении с процессом  $\alpha(t)$  имела бы место недостаточная чувствительность пахотного агрегата к управляющему воздействию водителя. Как известно, только в случае одинакового характера структуры случайных процессов входной и выходной переменных обеспечивается удовлетворительная точность реакции динамической следящей системы на управляющее воздействие.

Этому требованию в наибольшей степени отвечает пахотный агрегат на основе МЭС с заблокированным вертикальным шарниром ТТМ. В этом случае характер изменения спектральных плотностей угла поворота управляемых колес (см. рис. 2) и курсового угла (см. рис. 4 и 5) примерно одинаков: максимумы нормированных спектральных плотностей приходятся на частоты  $0,08-0,12 \text{ с}^{-1}$ , основная доля спектра дисперсии находится в интервале  $0-0,8 \text{ с}^{-1}$ , а частота среза равна  $0,6-0,8 \text{ с}^{-1}$ . По отношению к возмущающему воздействию (см. рис. 3) эффективная полоса частот угла  $\varphi$  несколько уже.

Следует отметить, что движение МЭС с незаблокированным вертикальным шарниром ТТМ характеризуется постоянным угловым отклонением между продольными осями энергетического и транспортно-технологического модулей. Это соответствующим образом оказывается на энергетических показателях агрегата. Анализ экспериментальных данных показал, что блокировка вертикального шарнира ТТМ позволяет уменьшить буксование движителей МЭС (в относительных величинах) при агрегатировании с пятикорпусным плугом на 8—15%, а с шестикорпусным на 18—20%. Часовой расход топлива снижается соответственно на 2—5 и 4—6%.

Снижение курсовой устойчивости движения пахотного агрегата при незаблокированном вертикальном шарнире ТТМ, возникновение в этом случае постоянного углового отклонения между продольными осями ТТМ и энергетического модуля отрицательно отражаются не только на энергетических показателях, но и на агротехническом — стабильности ширины захвата.

Существенность различий в степени вариации ширины захвата оценивали при помощи F-критерия Фишера для 5%-ного уровня значимости.

В результате дисперсионного анализа установлено, что нулевую гипотезу

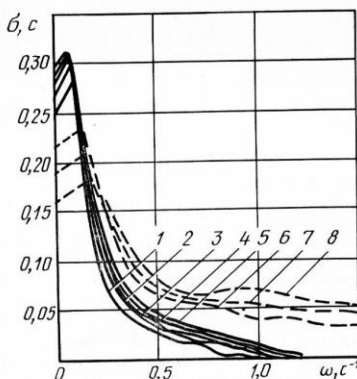


РИС. 4. Нормированные спектральные плотности  $\sigma$  реализаций курсового угла энергетического модуля МЭС при движении с заблокированным (—) и свободным (---) вертикальным шарниром ТТМ в агрегате с пятикорпусным плугом на различных скоростях движения, км/ч: 1 — 6; 2 — 6,4; 3 — 7,3; 4 — 8,5; 5 — 9,2; 6 — 7,7; 7 — 9,1; 8 — 9,3

тезу о равенстве сравниваемых дисперсий следует отвергнуть.

Блокировка вертикального шарнира ТТМ позволяет уменьшить дисперсию ширины захвата пацентного агрегата при работе МЭС с пятикорпусным плугом в 1,92, а с шестикорпусным — в 4,4 раза (табл. 1).

Таблица 1

Показатели	МЭС+ +ПЛН-5-35	МЭС+ +ПЛН-6-35
Рабочая скорость, км/ч	9/9	6,3/6,4
Среднее значение ширины захвата, см	176/176,3	211,6/213,3
Среднее квадратическое отклонение ширины захвата, см	5,4/3,9	6,7/3,2
Дисперсия ширины захвата, см <sup>2</sup>	29,2/15,2	44,9/10,2

Причение. В числителе приведены значения показателей при свободном, а в знаменателе — при заблокированном вертикальном шарнире ТТМ.

Трудоемкость составления любого МТА зависит от продолжительности маневрирования задним ходом энер-

гетического средства при присоединении к сельхозмашине. В силу особенностей конструктивной схемы МЭС можно предположить, что продолжительность маневрирования во многом зависит от состояния вертикального шарнира ТТМ.

Для решения поставленной задачи проведены специальные исследования, в ходе которых сравнивали трудоемкость присоединения оборудованного автосцепкой плуга к МЭС (при различных состояниях вертикального шарнира ТТМ) и к трактору Т-150К.

В результате установлено, что блокировка шарнира ТТМ позволяет снизить продолжительность подъезда МЭС к с.-х. орудию в 2,7 раза, а суммарную трудоемкость соединения агрегата — в 1,47 раза (табл. 2).

Таблица 2

Энергетическое средство	Трудоемкость проводимых операций, чел.-ч	Суммарная трудоемкость, чел.-ч
Т-150К	0,0027/0,0072	0,0099
МЭС с шарниром ТТМ:		
незаблокированным	0,0078/0,0075	0,0153
заблокированным	0,0029/0,0075	0,0104

Приложение. В числителе приведены значения трудоемкости операции подъезд к плугу, в знаменателе — присоединение плуга.

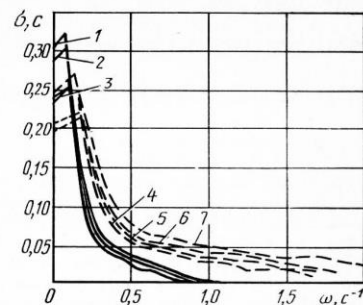


РИС. 5. Нормированные спектральные плотности  $\sigma$  реализаций курсового угла энергетического модуля МЭС при движении с заблокированным (—) и свободным (---) вертикальным шарниром ТТМ в агрегате с шестикорпусным плугом на различных скоростях, км/ч: 1 — 5,1; 2 — 5,5; 3 — 6,2; 4 — 4,5; 5 — 5; 6 — 6; 7 — 6,4

ренности пятикорпусных пацентных агрегатов на основе МЭС и Т-150К приведены в табл. 3.

Таблица 3

Показатели	МЭС+ +ПЛН-5-35	Т-150К+ +ПЛН-5-35
Коэффициент использования рабочих ходов	0,89	0,91
Среднее время одного поворота	38	36
Ширина поворотной полосы	12	9

По показателям маневренности МЭС незначительно уступает трактору Т-150К, несмотря на то что габаритная длина МЭС с ТТМ (7320 мм) значительно больше, чем трактора Т-150К (5965 мм). Эта разница определила увеличение ширины (с 9 до 12 м) поворотной полосы для пацентного агрегата на основе МЭС.

На основании изложенного следует, что для повышения эффективности использования МЭС в составе пацентного агрегата оно должно быть оборудовано устройством, автоматически блокирующим вертикальный шарнир ТТМ при движении на гоне и маневрировании задним ходом.